

С.О. Колінько, В.С. Ковтуненко,
Г.М. Дубровська

Черкаський інженерно-технологічний інститут,
Україна, 18006, г. Черкаси, бульв. Шевченко, 460

СТРУКТУРА ГЕРМАНІЮ І СУРМИ В НЕКРИСТАЛІЧНИХ СТАНАХ.

Проаналізовано сучасний стан в області моделювання атомної структури некристалічних германію та сурми на основі аналізу кривих радіального розподілу (КРР). Розглянуто особливості структуроутворення в аморфних плівках та розплавах Ge і Sb. Відмічено залежність структури об'єктів дослідження від технологічних умов їх одержання.

Проанализировано современное состояние в области моделирования атомной структуры некристаллических германия и сурмы на основании анализа кривых радиального распределения (КРР). Рассмотрены особенности структурообразования в аморфных пленках и расплавах Ge и Sb. Отмечено зависимость структуры объектов исследования от технологических условий их получения.

Contemporary state in modeling of atomic structure of the ioncrystalline germanium and antimony is analyzed using the radial distribution curves analysis. The peculiarities of structure formation in amorphous films and melts of Ge and Sb are considered. Structure of abovementioned objects depends on the technological conditions of their fabrication.

Ключові слова: структурна модель, аморфний стан, параметри близького порядку

Однією з причин, які стимулюють більш широке практичне використання аморфних плівок, є низька відтворюваність їх властивостей. Імовірне пояснення цього полягає в реалізації різних некристалічних структурних станів речовини при зміні технологічних умов вакуумного напилення. Так, зокрема, реалізація різних струк-

Структура германію і сурми в некристалічних станах.

турних станів спостерігається в аморфних тонких плівках систем As-
Se та Ge-Sb [1-5]. Таким чином, важливою задачою є вивчення за-
лежності механізму структуроутворення аморфного конденсату від
технологічних параметрів його одержання. Маючи результати таких
досліджень можна не лише покращити відтворюваність властиво-
стей аморфних матеріалів, а й ціленаправлено змінювати їх струк-
турночутливі властивості шляхом зміни технології.

Для вияснення механізму структуроутворення та побудови
структурних моделей подвійних систем необхідно мати інформацію
про структуру аморфних плівок речовин, що входять до складу сис-
теми. Тому, перш ніж інтерпретувати отримані нами КРР для систе-
ми Ge-Sb, ми розглянули відомі в літературі структурні моделі гер-
манію та сурми в некристалічних станах.

Структурні моделі аморфного германію

За допомогою методів дифракції рентгенівських променів, елек-
тронів і нейtronів для аморфних матеріалів Ge, отриманих шляхом
випаровування, катодного розпилення чи електролітичного осаджен-
ня, побудовані криві радіального розподілу КРР, хід яких виявляє
відносно єдину картину [8]. При цьому перший і другий максимуми
КРР і, відповідно, координатні числа для першої і другої коорди-
наційних сфер співпадають для аморфної і кристалічної форм Ge
(табл.1). Отже, в аморфному Ge структурними одиницями залиша-
ються об'ємноцентровані тетраедри (рис.1) [10, 11].

Таблиця 1. Міжатомні відстані (r , Å) і координатні числа (n) в аморфному
і кристалічному Ge

Аморфний Ge [9]									
r , Å					n				
2,45	4,00	4,69	5,66	6,16	4	12	12	6	12
Кристалічний Ge, решітка алмазу, $a=5,6576 \text{ \AA}$ [10]									
2,45	4,00	4,691	5,658	-	4	12	4	6	-

Тетраедричне оточення атомів у аморфному Ge є наслідком збе-
реження ковалентних міжатомних зв'язків, які характерні для крис-
талічного стану цієї речовини.

Основна відмінність аморфної форми від кристалічної полягає в
тому, що в першій із них тетраедри орієнтовані один відносно іншого
невпорядковано [13]. Дані, отримані із аналізу КРР, не дозволяють
зробити однозначний висновок про взаємне розміщення тетраедрич-

Вісник Черкаського університету. 2000. Випуск 19
Серія "Фізико-математичні науки".

них груп атомів і збереженні в них відповідних кутів між зв'язками. Тому було запропоновано декілька моделей структури.

Мікрокристалітична модель. Аморфний стан елемента можна розглядати як сукупність дрібних ($10 - 15 \text{ \AA}$) кристалітів, розділених міжкристалітичними областями. За вихідні дані моделі беруть параметри решітки і координатні числа певної кристалічної структури і припускають гауссовий розподіл відхилень атомів від центрів внаслідок розупорядкування [14].

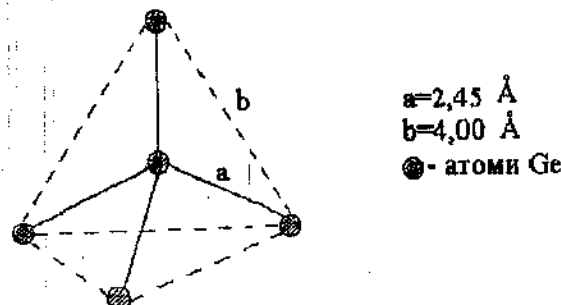


Рис.1 Об'ємноцентрований тетраедр

В роботі [8] відмічається хороше узгодження КПР тетрагональної кристалічної модифікації Ge з усередненою експериментальною КПР аморфного Ge. Автори роботи [15] виявили при відгалі аморфних гілівок Ge появу поряд з кристалітами кубічної структури, кристаліти метастабільної гексагональної модифікації Ge, на основі чого запропонували модель, згідно з якою аморфний Ge є сумішшю структурних елементів, які відповідають структурі кубічної і гексагональної решітки.

Недоліком мікрокристалітної моделі є те, що вона не описує розташування атомів в міжкристалітичних областях. Ці області не можуть бути малими із-за необхідності при цьому значного спотворення довжин зв'язків і валентних кутів, що неможливо із енергетичних міркувань [11]. Якщо ж допустити існування достатньо великих перехідних областей, необхідно структуру всієї плівки розглядати як повністю розупорядковану. Крім того, модель не дозволяє пояснити виявлену в експерименті різницю в густині аморфної речовини і її кристалічного аналога.

Кластерна модель. Модель базується на можливості невеликої кількості атомів (порядка 100) утворювати регулярне угрупування,

Структура германію і сурми в некристалічних станах.

Структура якого відрізняється від правильної кристалітної [11]. Енергетично таке розміщення атомів може виявитись більш вигідним і стати причиною формування аморфного стану речовини саме із таких кластерів. При цьому кластер не має фізичної поверхні поділу, а перевід від одного локального угрупування до іншого здійснюється неперервно через більш розупорядковані переходні області [14]. Правда, а такому разі проблема, яка пов'язана з об'єднанням мікрокристалітів або кластерів в макроскопічне тіло, також не розв'язана.

У роботах [12, 16] вказується на наявність в аморфному Ge ланцюжків довжиною в 2-3 об'ємноцентровані тетраедри, які статистично розвернуті відносно спільнної вершини. Дещо спотворені тетраедри, групуючись, можуть утворювати п'ятичленні кільця [17] із яких неможливо побудувати кристалітну решітку. П'ятичленні кільця, в свою чергу, можуть об'єднуватися в правильні ікосаедри, центри яких співпадають з вершинами пентагонального додекаедра. Такі утворення атомів названі «аморфонами» [10, 18]. В принципі «аморфони» можуть стикуватися один з одним гранями, утворюючи тривимірні сітки, але трансляційної симетрії така структура не матиме.

Структура розплаву германію

Будова рідкого Ge відрізняється від будови кристалічного чи аморфного Ge [8, 10, 19-23]. При плавленні Ge відбувається зміна структури, яка супроводжується збільшенням r_1 і r_2 і обумовлена руйнуванням ковалентних зв'язків та поступовою металізацією розплаву.

Збільшення найближчої міжатомної відстані від 2.45 \AA до 2.66 \AA приводить до утворення більш цільної структури. Структуру розплаву Ge можна описати за допомогою розмитої решітки типу $\beta\text{-Sn}$ (об'ємноцентрована тетрагональна решітка) [24, 25]. Задовільна інтерпретація експериментальних даних має місце, якщо покласти певні ріоди решітки рівними $a=5.131 \text{ \AA}$ і $c=2.80 \text{ \AA}$ [10]. Для такої решітки найбільш інтенсивні лінії Дебая знаходяться при таких значеннях $S(\text{\AA}^{-1})$: 2,449 (200); 2,556 (101); 3,464 (220); 3,54 (211). Середнє значення положення перших двох ліній (2.497 \AA^{-1}) узгоджується з положенням головного максимума кривої інтенсивності розплаву (2.43 \AA^{-1}), положенням двох інших ліній знаходиться в області побічного максимума.

Параметри більшого порядку в рідкому Ge також узгоджуються з відповідними параметрами для решіток типу $\beta\text{-Sn}$ (табл.2).

Таблиця 2. Параметри близького порядку Ge [10]

Розплав Ge		Решітка типу β -Sn		Решітка типу алмазу	
r_1 , Å	n_1	r_1 , Å	n_1	r_1 , Å	n_1
2,71	5,6	2,66	4	2,45	4
		2,80	2		

Найближче оточення атома Ge в решітці типу β -Sn складається із чотирьох атомів, які утворюють правильний тетраедр і знаходяться на відстані $r_1=2,66$ Å. Два інших атоми розміщені на дещо більшій відстані $r_1'=2,80$ Å. Тобто, якщо усерединні r_1 і r_1' , отримасмо:

$$r_1 = \frac{4r_1' + 2r_1''}{6} = 2,71(\text{\AA}), \text{ і } n_1=2+4=6.$$

Структурні моделі аморфної сурми

Отримана дифракційними методами (рентгенографія, електронографія) інформація [24-26] вказує на подібність близького порядку в аморфній сурмі з упорядкуванням в кристалі. Наявність на ФРРА максимуму при $r_1=2,87$ Å (табл.3), що відповідає першій координаційній сфері, яка вміщує три атоми, свідчить про збереження в аморфному стані значної частки ковалентної взаємодії (рис.2).

Таблиця 3. Радіуси координаційних сфер (r) і координаційні числа (n) в кристалічній (ромбоедрична решітка) і аморфній сурмі [28]

Кристалічна сурма	r	2,8	3,3	4,2	4,5	5,1	5,2	5,4	6,0	6,2
	n	7	7	7	0	5	3	4	6	0
Аморфна сурма	r	2,8	3,8	4,3	4,6	-	-	-	-	6,4
	n	7	5	0	0	-	-	-	-	0

В роботі [27] зроблено висновок про наявність в аморфній сурмі шарової структури. Відстань між шарами (3,85 Å) більша ніж в кристалічній решітці (3,37 Å). Тобто, аморфна сурма побудована із плоских подвійних шарів обмеженої протяжності з гомеополярними зв'язками в шарі і вандерваальсівськими між шарами.

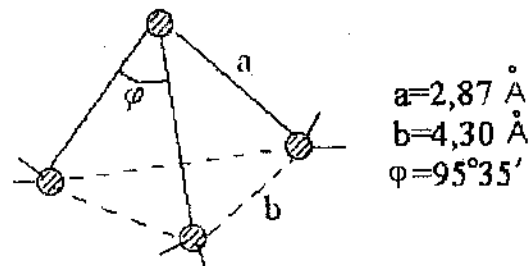


Рис.2 Близький порядок в ромбоедричній решітці сурми

Інші результати були отримані в роботі [29], де шліви напилювались на колодієві підкладки, що знаходились при кімнатній температурі, на відміну від [28], де напилення проводилося на підкладки NaCl при температурі рідкого азоту.

Відмінною особливістю інтерференційної функції отриманої в [29] є наявність біля першого піка побічного максимуму збоку більших значень S з вершиною при $S=2,4$ Å⁻¹ (табл.4).

Таблиця 4. Положення максимумів інтерференційної функції аморфної сурми

S , Å ⁻¹	2,08	2,4	3,32	4,30	5,30	6,20	7,1	7,6	9,1	10,2	[29]
	2,1	-	3,29	4,40	5,09	6,28	7,12	-	9,36	10,4	[28]

Таблиця 5 Радіуси координаційних сфер (r) і координаційних чисел (n) в аморфній сурмі

[29]	r	-	3,77	4,35	-	6,20
	n	-	7	6	-	16
[28]	r	2,87	3,85	4,30	4,60	6,40
	n	3	-	17	-	24

Функції радіального розподілу атомів, які отримано в роботі [29] не мають максимуму, що відповідає найкоротшій міжатомній відстані $r=2,87$ Å в кристалічній сурмі (табл.5). Робиться висновок, що близький порядок сформувався без утворення ковалентних зв'язків, які обумовлюють існування комплексів Sb₄ (див.рис.2) з $n=3$. Більш чітко виражений металічний характер взаємодії атомів в аморфному

зразку при одіть до стабілізації їх розподілу, близького до сферичної симетрії, на відміну від ромбоедричної решітки кристалу. Реалізація в тонких плівках фаз із більш високою симетрією, ніж в масивному матеріалі, і поява аморфної структури може бути обумовлена виграшем в п'єрхневій енергії подібних утворень порівняно з енергією кристалічних структур [29].

Послідовність максимумів КРР [29] можна описати на основі елементів ОЦК структури з параметром $a=4,35 \text{ \AA}$ і найкоротшою міжатомною відстанню $r_1=3,77 \text{ \AA}$ (табл.6).

Таблиця 6. Параметри близького порядку в аморфній сурмі і їх співвідношення з ОЦК структурою [29]

Аморф- на сурма	r	3,77	4,35	6,20	-	7,54	8,8	-	9,8	10,7	13,5
	n	7	6	16	-	20	30	-	2,5	40	80
ОЦК	r	3,77	4,35	6,16	7,22	7,54	8,71	9,49	9,73	10,7	13,1
	n	8	6	12	24	8	6	16	24	24	6

Структура розплаву сурми

Структура рідкої сурми досліджена порівняно мало. Взагалі, робиться висновок, що при плавленні сурма змінює характер близького порядку в сторону ущільнення [21]. Ця зміна відбувається не стрибком при температурі плавлення, а поступово, в температурному інтервалі від температури плавлення 630,5 до 650°C. Структура рідкої сурми відрізняється від структури її аморфного, чи кристалічного стану [19] (табл.7), при цьому експериментальні КРР близькі до теоретичних, які можна отримати при «розмиванні» гексагональної щільноупакованої решітки [21].

Таблиця 7. Параметри близького порядку рідкої сурми [19]

$r, \text{\AA}$	3,12	4,4	5,3	6,3	9,0
n	6	12	-	-	-

1. В.П. Іваницкий, О.В. Лукша, Ю.Ю. Фирцак, П.А. Феннич, Физическая электроника, 23, 102 (1981).
2. В.П. Світлинець, Н.І. Довгошев, І.І. Мучичка, В.П. Іваницкий, Изв. Академии наук ССР. Неорган. материалы, 2, 341 (1985).
3. O. Luksha, V. Ivanitsky, S. Kolinko, J. Non-Cryst. Solids, 43, 136 (1991).

Структура германію і сурми в некристалічних станах

4. С.А. Колінько, Структурная модификация аморфных пленок системы As-Se при напылении методами вакуумного термического испарения: Автореф. дис. канд. физ.-мат. наук: 01.04.10, Ужгород. гос. універ., Ужгород (1990).
5. В.С. Ковтуненко, С.О. Колінько, Вісник ЧГІ, 1, 67 (1998).
6. В.С. Ковтуненко, Г.М. Дубровська, С.О. Колінько, В.П. Іваницький, Вопросы атомной науки и техники, 4-5, 214 (1998).
7. С.О. Колінько, В.П. Іваницький, В.С. Ковтуненко, Г.М. Дубровська, УФЖ, 9, 1078 (2000).
8. А. Фельц, Аморфные и стеклообразные неорганические твердые тела. Пер. с нем., Мир, Москва (1986).
9. Я.И. Стеців, ФТГ, 17, 118 (1975).
10. В.А. Пояєский, В.Н. Казимиров, С.П. Ялганский, Г.И. Баталин, В.Є. Сокольський, Изв. АН ССР, 6, 63 (1983).
11. В.Н. Захаров, В.С. Герасименко, Структурные особенности полупроводников в аморфном состоянии, Наукова думка, Київ (1976).
12. Ю.И. Масленников, Строение расплавов выявляемое дифракционными методами, В кн.: Физико-химические исследования металлургических процессов, Уральский политехн. ин-т, Свердловск (1979).
13. Р. Сміт, Полупроводники. Пер. с англ., Мир, Москва (1982).
14. Ю.К. Коннерист, Е.К. Осипов, Е.А. Трофимова, Физико-химические основы создания аморфных металлических сплавов, Наука, Москва (1983).
15. В.Д. Окунєв, З.А. Самойленко, Письма в ЖТФ, 14, 1621 (1988).
16. Н.И. Разікова, Л.А. Жукова, Неорган. матер., 23, 243 (1987).
17. Н. Мотт, Э. Дэвис, Электронные процессы в некристаллических веществах, Мир, Москва (1974).
18. Л.А. Жукова, С.И. Попель, Кристаллография, 36, 733 (1991).
19. Л.И. Татаринова, Структура твердых аморфных и жидких веществ. Наука, Москва (1983).
20. В.М. Глазов, С.Н. Чижевский, Н.Н. Глаголева, Жидкие полупроводники, (1967).
21. Я.И. Дутчак, Рентгенография жидких металлов, Вища школа. Львов (1977).
22. Ю.Г. Полтавцев, УФН, 120, 581 (1976).
23. Г.И. Баталин, В.П. Казимиров, Кристаллография, 15, 850 (1970).
24. Н.А. Ватолин, Э.А. Пастиухов, Дифракционные исследования строения высокотемпературных расплавов, Наука, Москва (1980).
25. Y. Waseda, K. Suzuki, Z. Phys., 20, 339 (1975).
26. H. Henkels, H.K.F. Müller, Z. Naturforsch., 9a, 102 (1957).
27. H. Richter, H. Berckheimer, G. Breitling, Z. Naturforsch. 9a, 236 (1954).
28. Я.И. Стеців, Кристаллография, 18, 257 (1973).
29. Л.А. Жукова, О.Ю. Сидоров, Кристаллография, 3, 53 (1985).